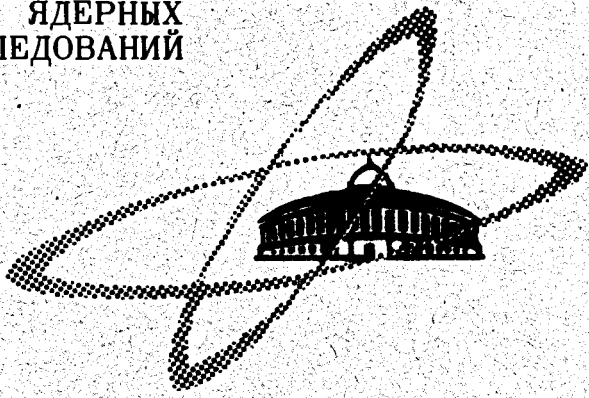


16/IV-69

K-659

СООБЩЕНИЯ
ОБЪЕДИНЕННОГО
ИНСТИТУТА
ЯДЕРНЫХ
ИССЛЕДОВАНИЙ
Дубна

P1 - 4281



Г. И. Копылов

ЛАБОРАТОРИЯ ВЫСОКИХ ЭНЕРГИЙ

ПРЯМОУГОЛЬНЫЕ ДИАГРАММЫ ДАЛИТЦА

1969

P1 - 4281

Г. И. Копылов

ПРЯМОУГОЛЬНЫЕ ДИАГРАММЫ ДАЛИТЦА

4780/2 чр.

Объединенный институт
математических исследований
Библиотека

Проецируя фазовое пространство нескольких частиц на плоскость, обычно пользуются либо диаграммой Далица (при трех частицах), либо треугольной диаграммой (при $n > 3$). Форма фигуры Далица сложна. Мы покажем, однако, что подходящим выбором переменных, характеризующих состояние тройки частиц, ее можно обратить в прямоугольник.

В §2 будут рассмотрены некоторые свойства треугольных диаграмм и, в частности, возможность сглаживания фона на этих диаграммах, что позволяет сблизить их свойства со свойствами диаграммы Далица.

§1. Прямоугольная диаграмма Далица

Дан распад $0 \rightarrow 1 + 2 + 3$. Амплитуда распада пусть равна константе. Будем характеризовать состояние тройки частиц эффективными массами пар 12 и 23: m_{12} и m_{23} . Тогда интеграл состояний (фазовый объем) системы может быть представлен в виде

$$S_3 = \left(\frac{\pi}{2m_0} \right)^2 \iint dm_{23}^2 dm_{12}^2 \quad (1)$$

Область интегрирования есть фигура Далица. Отсутствие множителей при дифференциалах означает равномерность фона в отсутствие резонансов в системе $1 + 2 + 3$.

Чтобы сделать область интегрирования прямоугольником, вспомним, что при фиксированном m_{23}^2 величина m_{12}^2 зависит линейно от η - косинуса угла вылета частицы 2 в системе покоя 23. Сам же коси-

нус всегда меняется от -1 до $+1$ независимо от того, чему равно m_{23} .

Сделаем η одной из переменных новой диаграммы. Имеем

$$m_{12}^2 = m_0^2 + m_3^2 - 2m_0 \frac{\omega_{23} \omega_3 - P_{23} P_3 \eta}{m_{23}}, \quad (2)$$

где

$$\omega_{23} = \frac{m_0^2 + m_{23}^2 - m_1^2}{2m_0}, \quad \omega_3 = \frac{m_{23}^2 + m_3^2 - m_2^2}{2m_{23}}, \quad (3)$$

$$P_1^2 = \omega_1^2 - m_1^2.$$

Поэтому

$$dm_{12}^2 = R d\eta, \quad (4)$$

где

$$R = 2m_0 P_{23} P_3 / m_{23} \equiv$$

$$\equiv \frac{\sqrt{(m_0 + m_1)^2 - m_{23}^2} \sqrt{(m_0 - m_1)^2 - m_{23}^2} \sqrt{m_{23}^2 - (m_2 + m_3)^2} \sqrt{m_{23}^2 - (m_2 - m_3)^2}}{2m_{23}^2} \quad (5)$$

Интеграл (1) обращается в

$$S_3 = \left(\frac{\pi}{2m_0} \right)^2 \frac{(m_0 - m_1)^2}{(m_2 + m_3)^2} \int dm_{23}^2 R(m_{23}^2) \int_{-1}^{+1} d\eta.$$

Хотя область интегрирования прямоугольна, тем не менее плотность вероятности наблюдать тройку 1,2,3 с параметрами (m_{23}^2, η) неоднородна - зависит от m_{23}^2 . Выберем теперь по переменной m_{23}^2 новую шкалу - такую, чтобы первообразная от $R(m_{23}^2)$ изменялась равномерно

$$r = \frac{\int_{(m_2+m_3)^2}^{m_{23}^2} R(m_{23}^2) dm_{23}^2}{\int_{(m_2+m_3)^2}^{(m_0-m_1)^2} R(m_{23}^2) dm_{23}^2} \quad (6)$$

Новая переменная r обладает такими свойствами: $r=0$ при $m_{23}=m_2+m_3$, $r=1$ при $m_{23}=m_0-m_1$, r монотонно растет с ростом m_{23} , обратная функция $m_{23}^2(r)$ однозначна, и

$$R(m_{23}^2) dm_{23}^2 = \frac{1}{2} S_3 dr$$

$(S_3 = S_3(m_0; m_1, m_2, m_3))$ - фазовый объем тройки (2,3). В переменных (r, η) интеграл состояний обращается в

$$S_3 = \frac{1}{2} S_3 \int_0^1 dr \int_{-1}^{+1} d\eta \quad (7)$$

Все состояния с постоянной амплитудой в прямоугольнике (r, η) (рис.1) равновероятны. Сгущения точек пропорциональны квадрату амплитуды. Переход от прямоугольника к фигуре Далица производится по формуле $m_{23}^2 = m_{23}^2(r)$ и затем по формуле (2). Ясен и обратный переход. Функция (6) легко табулируется, а иногда выражается и аналитически. В распаде на три ультрарелятивистских частицы

$$r = 2(m_{23}^2 / m_0^2) - (m_{23}^2 / m_0^2)^2$$

откуда

$$m_{23}^2 = m_0^2 (1 - \sqrt{1-r}) \quad (8)$$

В нерелятивистском случае

$$\pi r = 2 \left(2 \frac{r}{T_0} - 1 \right) \sqrt{\frac{r}{T_0} \left(1 - \frac{r}{T_0} \right)} - \arccos \left(\frac{2r}{T_0} - 1 \right) \quad (9)$$

где

$$r = m_{23}^2 - m_2^2 - m_3^2, \quad T_0 = m_0^2 - m_1^2 - m_2^2 - m_3^2 \quad (10)$$

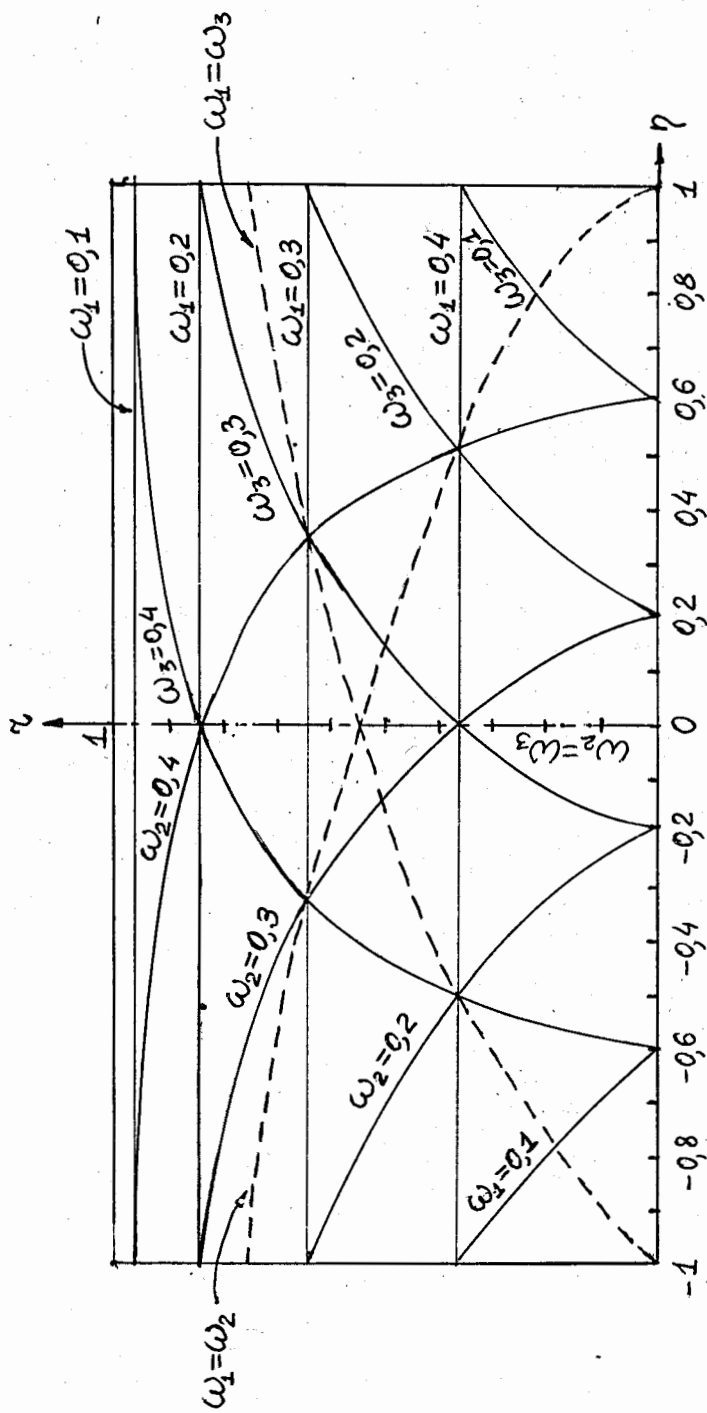


Рис.1. Диаграмма распада на три ультррелятивистских частицы.

Прямоугольная диаграмма применима во всех случаях, в которых применяют и обычную диаграмму Далица. Отметим еще возможность отобразить фигуру Далица на круг /1/.

§2. Системы нескольких частиц

Рассмотрим распад типа

$$0 \rightarrow 1+2+\dots+n \quad (n \geq 4)$$

Разобьем n частиц на две группы A и B , по n_A и n_B частиц в каждой, причем $n_A \geq 2$, $n_B \geq 2$ и $n_A + n_B = n$. Эффективная масса первой группы есть M_A , второй M_B , кинетическая энергия частиц группы в ее системе покоя есть T_A, T_B . Область изменения (T_A, T_B) есть, как известно, прямоугольный треугольник

$$0 \leq T_A \leq T_0,$$

(11)

$$0 \leq T_B \leq T_0 - T_A.$$

Тот же вид имеет область (T_A, T_B) и в случае, когда $n_A + n_B < n$.

В предположении, что амплитуда распадов частиц $0, A$ и B постоянна, интеграл состояний n частиц представим в виде

$$S_n = \int dm_A^2 dm_B^2 S_2(0; A, B) S_{n_A}(m_A) S_{n_B}(m_B), \quad (12)$$

где $S_k(m_k)$ - фазовый объем k частиц с эффективной массой m_k . Распределение по $dm_A dm_B$, следовательно, в этом случае неравномерно

$$\frac{d^2 S_n}{dm_A dm_B} = 4m_A m_B S_2(m_0; m_A, m_B) S_{n_A}(m_A) S_{n_B}(m_B) (n_A + n_B = n). \quad (13)$$

Когда, кроме групп А и В, в системе остается еще какая-то группа С из k частиц с массами m_{C1}, \dots, m_{Ck} , то распределение усложняется ненамного

$$\frac{d^2 S}{dm_A dm_B} = 4 m_A m_B S_{2+k}(m_0; m_A, m_B, m_{C1}, \dots, m_{Ck}) S_{n_A}(m_A) S_{n_B}(m_B). \quad (14)$$

Когда же А и В — это не группы частиц, а настоящие резонансы, то интеграл состояний равен

$$S = \iint dm_A^2 dm_B^2 S_2(m_0; m_A, m_B) BW(m_A^2) BW(m_B^2), \quad (15)$$

где BW — спектр массы резонанса (формула Брейта-Вигнера). Когда резонанс бесконечно узок, на диаграмме (11) мы получаем две заселенные полосы, параллельные катетам (рис. 2).

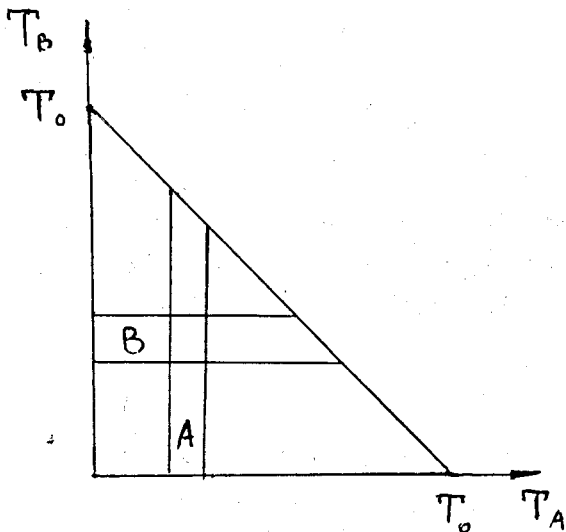


Рис. 2.

Полосы эти чаще всего образуются на фоне распределений типа (13), (14). Неравномерность фона носит другой характер. Чтобы составить себе представление о нем, рассмотрим нерелятивистский предел. Тогда можно положить

$$\begin{aligned}
 m_A S_{n_A}(m_A) &\approx T_A^{\frac{1}{2} \alpha_A}, & m_B S_{n_B}(m_B) &\approx T_B^{\frac{1}{2} \alpha_B}, \\
 S_2(m_0; m_A, m_B) &\approx T_C^{\frac{1}{2}},
 \end{aligned}
 \tag{16}$$

где

$$\alpha_i = 3n_i - 5
 \tag{17}$$

$$T_C = T_0 - T_A - T_B.
 \tag{18}$$

Максимум в распределении (13) придется при этом на

$$T'_A = \alpha_A \kappa T_0, \quad T'_B = \alpha_B \kappa T_0, \quad T'_C = \kappa T_0,
 \tag{19}$$

где

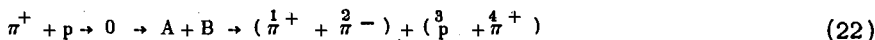
$$\kappa = (1 + \alpha_A + \alpha_B)^{-1}.
 \tag{20}$$

Линии уровня в окрестности точки (T'_A, T'_B) — это эллипсы

$$(T_A - T'_A + T_B - T'_B)^2 + \alpha_A^{-1} (T_A - T'_A)^2 + \alpha_B^{-1} (T_B - T'_B)^2 = \text{const}.
 \tag{21}$$

При $\alpha_A = \alpha_B = \alpha$ большая ось эллипса параллельна гипотенузе, а отношение полуосей равно $\sqrt{2\alpha + 1}$ (рис. 3).

В других случаях положение максимума в фоне иное. Так, рассмотрим фон в реакции



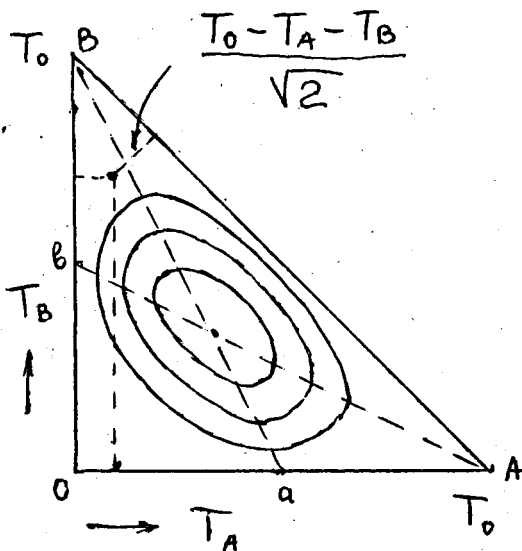


Рис. 3.

в предположении, что

$$T_0 \ll m_0, T_B \ll m_3 + m_4, \quad \text{но } T_A \text{ произвольно} \quad (23)$$

и $m_1 = m_2 = m$. Легко обнаружить, что теперь максимум придется на точку (T'_A, T'_B) с координатами

$$T'_A = \sqrt[3]{4m^2(T_0 + 2m)} - 2m, \quad T'_B = \frac{1}{2}(T - T'_A). \quad (24)$$

С увеличением числа частиц в группе A максимум по m_A при фиксированном m_B смещается вправо. При малых m_A можно считать нерелятивистским распад группы A :

$$S_{n_A}(m_A) \approx T_A^{\frac{1}{2} a_A}$$

при больших m_A можно считать нерелятивистским распад

$$0 \rightarrow A + B$$

$$S_2(m_0; m_A, m_B) \approx (T_0 - T_A - T_B)^{\frac{1}{2}}$$

поэтому приближенно распределение по T_A при фиксированном T_B есть

$$\frac{d^2 S}{dm_A dm_B} \Big|_{m_B = \text{const}} \approx T_A^{\frac{1}{2}(3n_A - 5)} (T_0 - T_B - T_A)^{\frac{1}{2}}$$

В точке

$$\frac{T'_A}{T_0 - T_B} = 1 - \frac{1}{3n_A - 4} \quad (25)$$

оно имеет максимум, который с увеличением n_A смещается вправо. Максимум этот не резок (в сравнении с резонансными максимумами (15)), однако приводит к "оттоку" фона от $T'_A = 0$ тем большему, чем больше n_A . Это объясняет, почему на диаграмме (m_{pp}, m_{ppp}) фон по сравнению с диаграммой (m_{pp}, m_{pp}) сдвинут вправо (рис. 4; взят из работы /3/).

Подобно диаграмме Далица, треугольную диаграмму можно превратить в прямоугольник. Для этого, например, поступим так. Перепишем (13):

$$d^2 S = dT_A dT_B \Phi(T_A, T_B)$$

и формально введем δ - функцию

$$d^3 S = dT_A dT_B dT_C \Phi(T_A, T_B) \delta(T_A + T_B + T_C - T_0) \quad (26)$$

Здесь (см. рис. 3) T_C - расстояние точки 0 от гипотенузы, умноженное на $\sqrt{2}$, причем

$$0 \leq T_C \leq T_0$$

Произведем теперь замену переменных

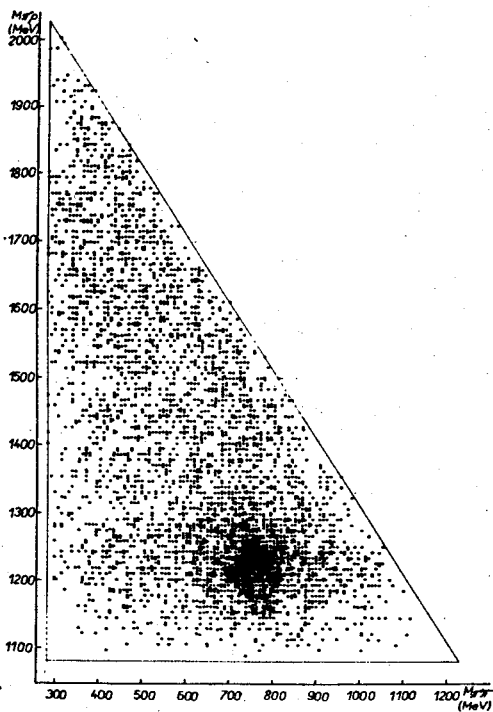
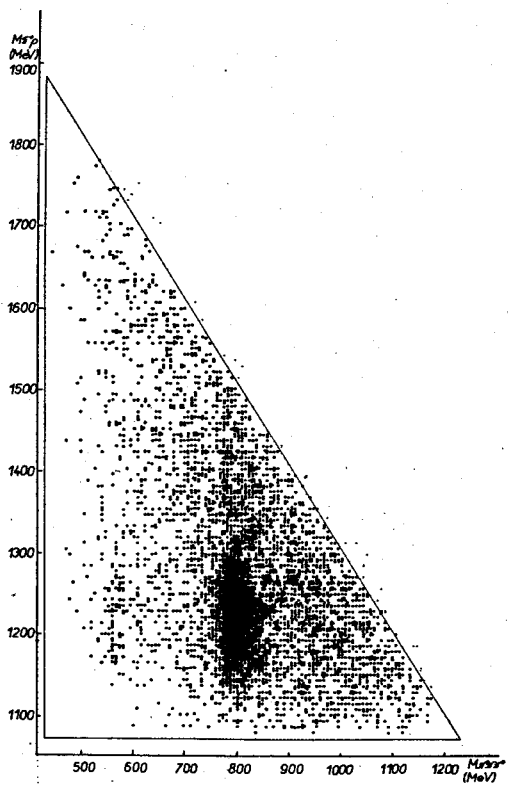


Рис. 4.

$$T_A = T_0 (r \cos \theta)^2,$$

$$T_B = T_0 (r \sin \theta \cos \phi)^2 \quad (27)$$

$$T_C = T_0 (r \sin \theta \sin \phi)$$

и проинтегрируем по r , полагая затем $r=1$

$$d^2 S = T_0^2 \cdot 4 \cos \theta \sin^2 \theta d \cos \theta \cdot \cos \phi \cdot \sin \phi d \phi \cdot \tilde{\Phi}(\theta, \phi). \quad (28)$$

Переменные (θ, ϕ) меняются независимо друг от друга в прямоугольнике

$$0 \leq \cos \theta \leq 1$$

$$0 \leq \phi \leq \pi/2. \quad (29)$$

Распределение $\tilde{\Phi}(\theta, \phi)$ — это функция $\Phi(T_A, T_B)$, выраженная через θ и ϕ . Конечно, в формулах (27) можно, не меняя множителей при $\tilde{\Phi}$, делать любые перестановки правых частей. Этим можно воспользоваться, чтобы резонансы изображались полосками, параллельными осям координат. Так будет при замене (27) с резонансами в группе А. Однако резонансы в группе В изобразятся на диаграмме косыми полосками.

На первый взгляд, прежний треугольник не хуже нашего прямоугольника. Однако прямоугольник позволяет факторизовать распределения и сгладить фон резонансов. Пусть, например, энерговыделение T_0 невелико, воспользуемся тогда нерелятивистским приближением

$$\tilde{\Phi} \approx T_A^{1/2 \alpha_A} T_B^{1/2 \alpha_B} T_C^{1/2} \quad (30)$$

Замена даст

$$\Phi = (\sin \theta)^{3+\alpha_B} (\cos \theta)^{1+\alpha_A} (\sin \phi)^2 (\cos \phi)^{1+\alpha_B} d \cos \theta d \phi .$$

Введем x и y в $0 \leq x, y \leq 1$ так, чтобы было

$$x = \frac{\int_0^{\cos \theta} (\sin \theta)^{3+\alpha_B} (\cos \theta)^{1+\alpha_A} d \cos \theta}{\int_0^1 (\sin \theta)^{3+\alpha_B} (\cos \theta)^{1+\alpha_A} d \cos \theta} , \quad (31)$$

$$y = \frac{\int_0^{\phi} \sin^2 \phi (\cos \phi)^{1+\alpha_B} d \phi}{\int_0^{\pi/2} \sin^2 \phi (\cos \phi)^{1+\alpha_B} d \phi} . \quad (32)$$

Тогда будем иметь

$$\Phi(x, y) \sim dx dy .$$

Равномерность в нерелятивистском пределе гарантирует отсутствие сильных фоновых сгущений на диаграмме $0 \leq x, y \leq 1$ и при любых сколь угодно высоких энергиях /2/.

Рассмотрим еще сглаживание фона в случае реакции (22), когда выполнены условия (23). Тогда

$$S_A \sim (1 - 4 m_\pi^2 / m_A^2)^{1/2} , \quad S_B \sim T_B^{1/2} , \quad S_C \sim T_C^{1/2} .$$

Замена (27) даст

$$d^2 S \sim \left[1 - \frac{4 m_\pi^2}{(2 m_\pi + T_0 \cos^2 \theta)^2} \right]^{1/2} \sin^4 \theta \cos \theta d \cos \theta \cdot \sin^2 2 \phi d \phi .$$

Мы видим, что и здесь распределение по (θ, ϕ) факторизуется. Выражая x через θ , а y через ϕ по образцу формул (31), (32), мы добьемся равномерности фона в квадрате $0 \leq x, y \leq 1$. Выкладки, сходные с проведенными, позволяют решить задачу о моделировании пе-

риферических взаимодействий при сверхвысоких энергиях, когда процесс описывается полюсными диаграммами. Обычный способ моделирования /2/ в применении к полюсным диаграммам не эффективен. Между тем, сглаживание распределений по (m_A, m_B) позволит эффективно разыгрывать массы групп А и В, а распад "частиц" А и В легко моделируется обычным путем.

Л и т е р а т у р а

1. Ю. А. Симонов. ЯФ, 3, 630, 1966; В.В. Пустовалов, Ю.А. Симонов. ЖЭТФ, 51, 345, 1966.
2. В.Е. Комолова, Г.И. Копылов. Препринт ОИЯИ P11-3193, Дубна 1967.
3. N. Angelov, A. B. Feniuk, I. M. Gramenitzky, Kh. Kanazirski, M. Khristov, P. Kerachev, A. M. Moiseev, A. Prokeš, M. D. Shafranov, L. A. Tikhonova. Paper presented to 14 Intern. Conf. on High Energy Physics, Vienna, 1968.

Рукопись поступила в издательский отдел
30 января 1969 года.